

図1 (533) Sara 2025年8月3日 17h26m08s UT DAMIT Model 3321 ($\lambda = 184$ 、 $\beta = -74$)※1
 $P = 158^\circ$ 、 $\beta_e = +1^\circ$ 、 $\lambda_e = -13^\circ$ 、Scale Factor 1: 29.6、 $k = 0.979$ 、 $B = 79.7^\circ$

(533) Sara

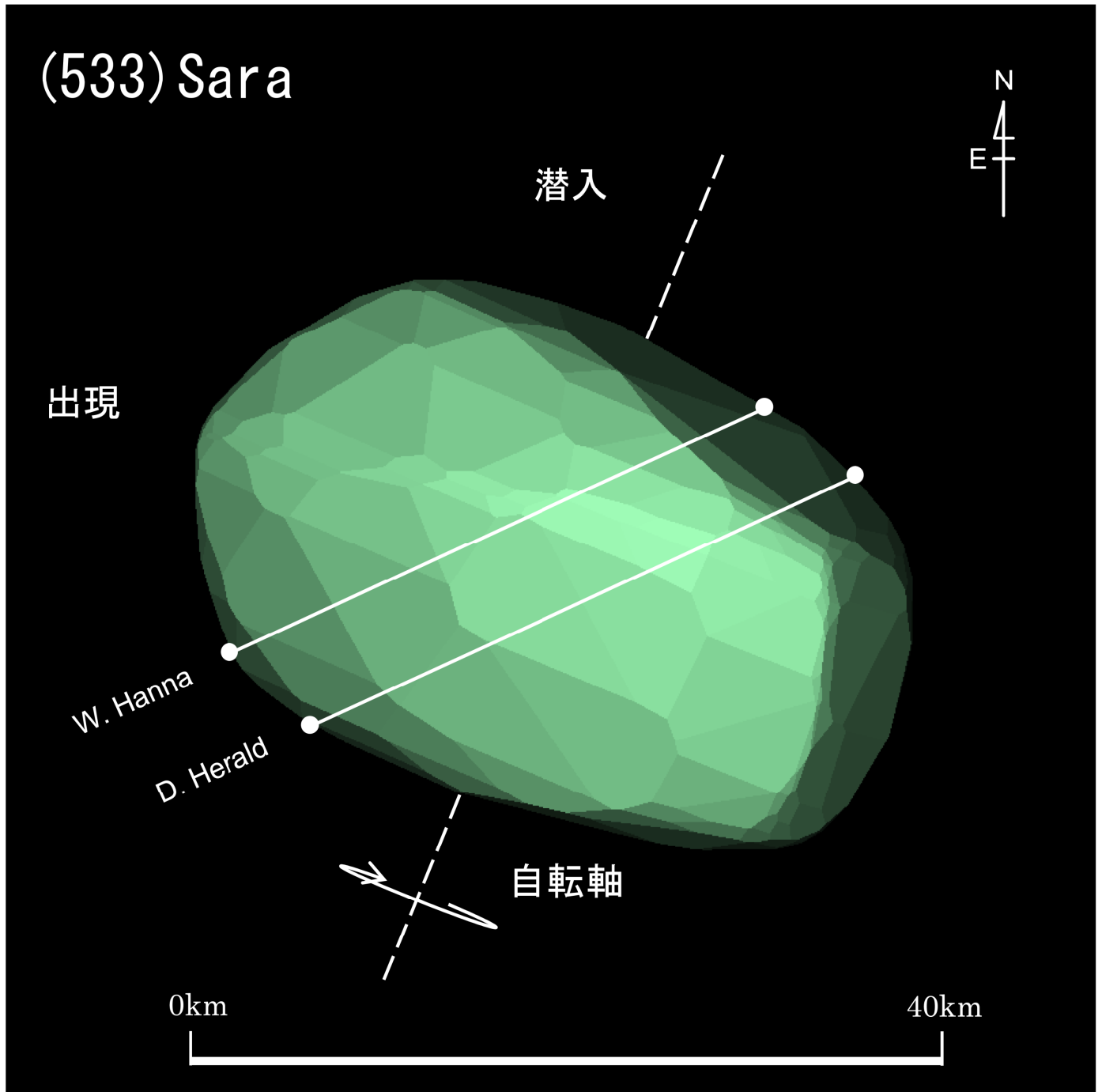


図2 (533) Sara 2026年1月20日 10h26m29s UT DAMIT Model 3321 ($\lambda = 184$ 、 $\beta = -74$)※1
 $P = 158^\circ$ 、 $\beta_e = -2^\circ$ 、 $\lambda_e = -188^\circ$ 、Scale Factor 1: 27.0、 $k = 0.985$ 、 $B = 255.0^\circ$

(90372) 2003 QR88

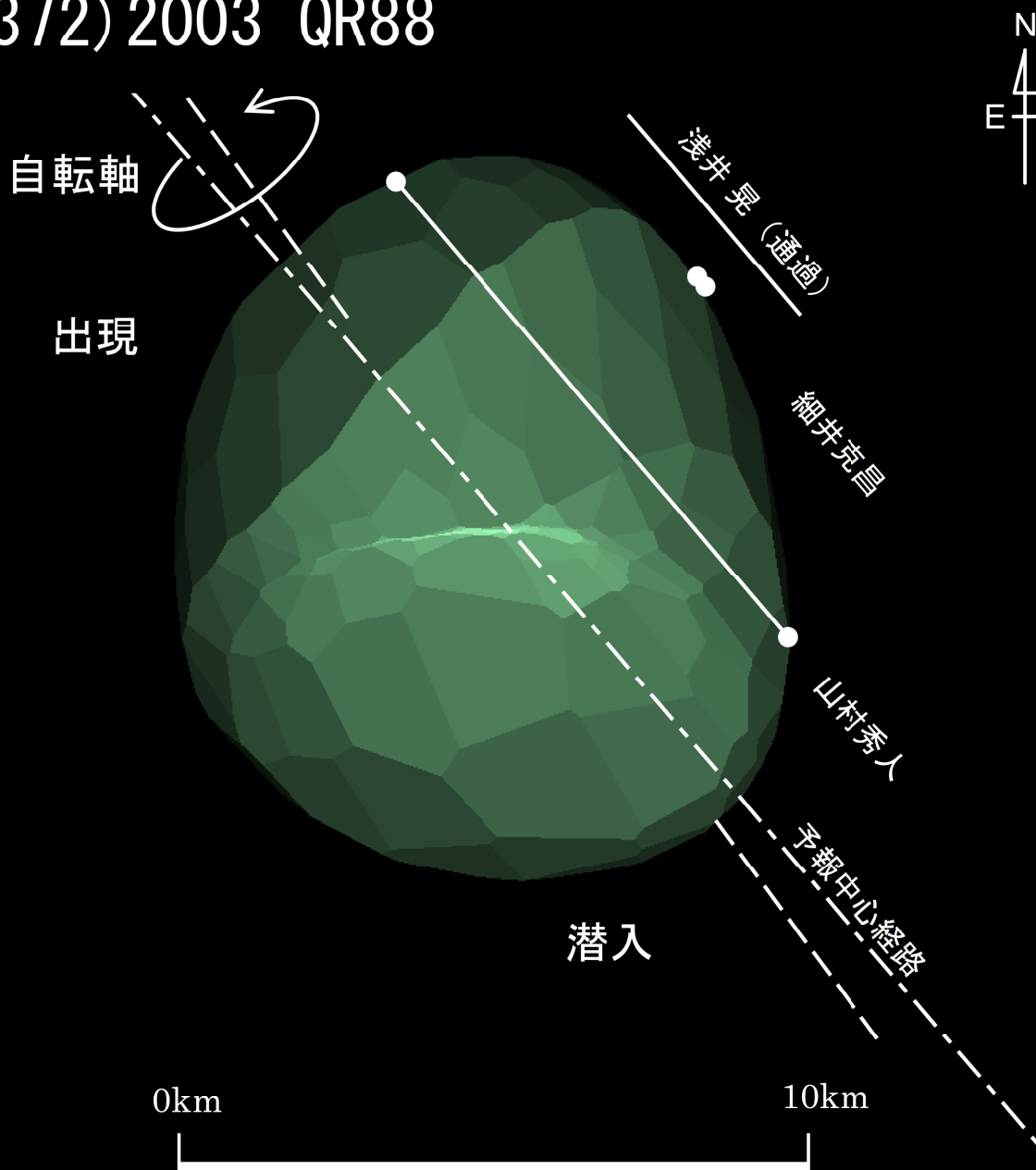


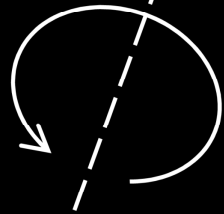
図3 (90372) 2003 QR88 2025年8月26日 15h23m39s UT DAMIT Model 15756 ($\lambda = 78$ 、 $\beta = +24$)※1
 $P = 36^\circ$ 、 $\beta_e = +23^\circ$ 、 $\lambda_e = -93^\circ$ 、Scale Factor 1: 9.0、 $k = 0.989$ 、 $B = 293.8^\circ$

(3728) IRAS

出現



自轉軸



潜入

井狩康一

山村秀人

0km

20km

図4 (3728) IRAS 2025年8月30日 13h58m22s UT DAMIT Model 11342 ($\lambda = 87^\circ$, $\beta = -58^\circ$)※1
 $P = 160^\circ$, $\beta_e = +52^\circ$, $\lambda_e = -22^\circ$, Scale Factor 1: 14.5, $k = 0.981$, $B = 280.2^\circ$

(45) Eugenia

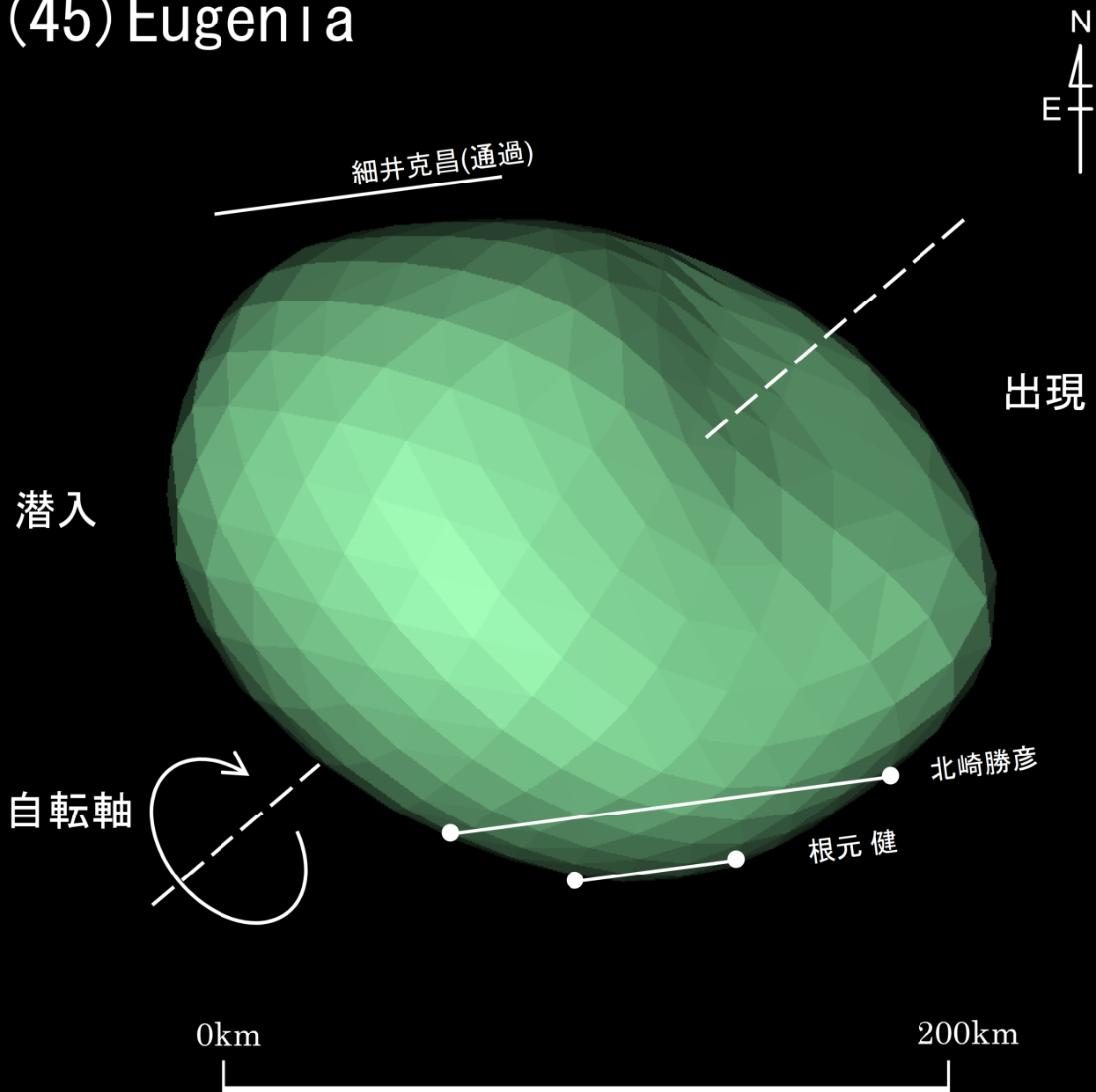


図5 (45) Eugenia 2025年9月16日 18h36m48s UT DAMIT Model 1812 ($\lambda = 127$ 、 $\beta = -35$) $\times 1$
 $P = 131^\circ$ 、 $\beta_e = -43^\circ$ 、 $\lambda_e = -18^\circ$ 、Scale Factor 1: 1.0、 $k = 0.970$ 、 $B = 87.9^\circ$

(45) Eugenia

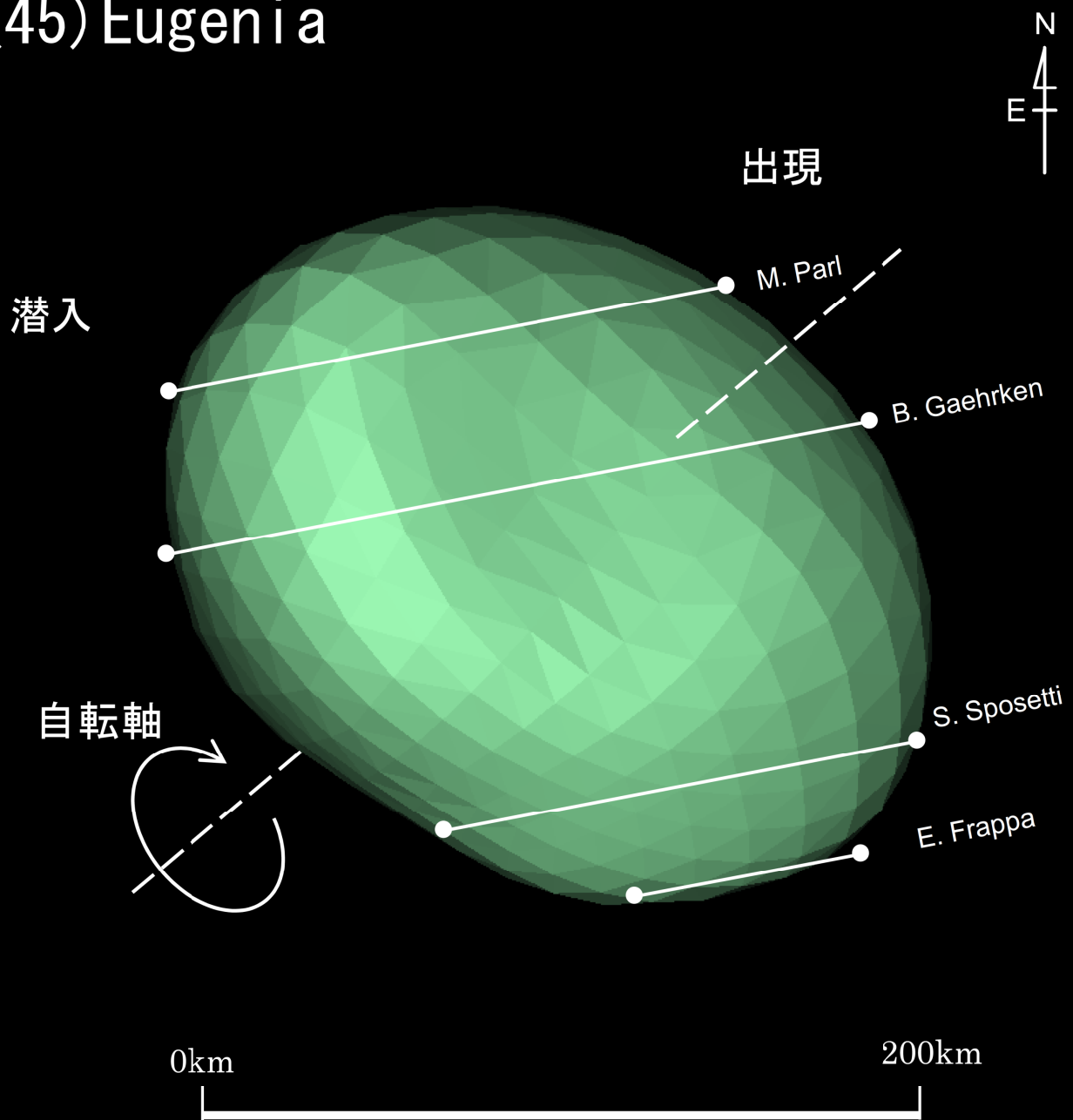


図6 (45) Eugenia 2016年9月24日 00h55m07s UT DAMIT Model 1812 ($\lambda = 127^\circ$, $\beta = -35^\circ$)※1
 $P = 130^\circ$, $\beta_e = -43^\circ$, $\lambda_e = -188^\circ$, Scale Factor 1: 1.0, $k = 0.970$, $B = 88.7^\circ$

(1672) Gezelle

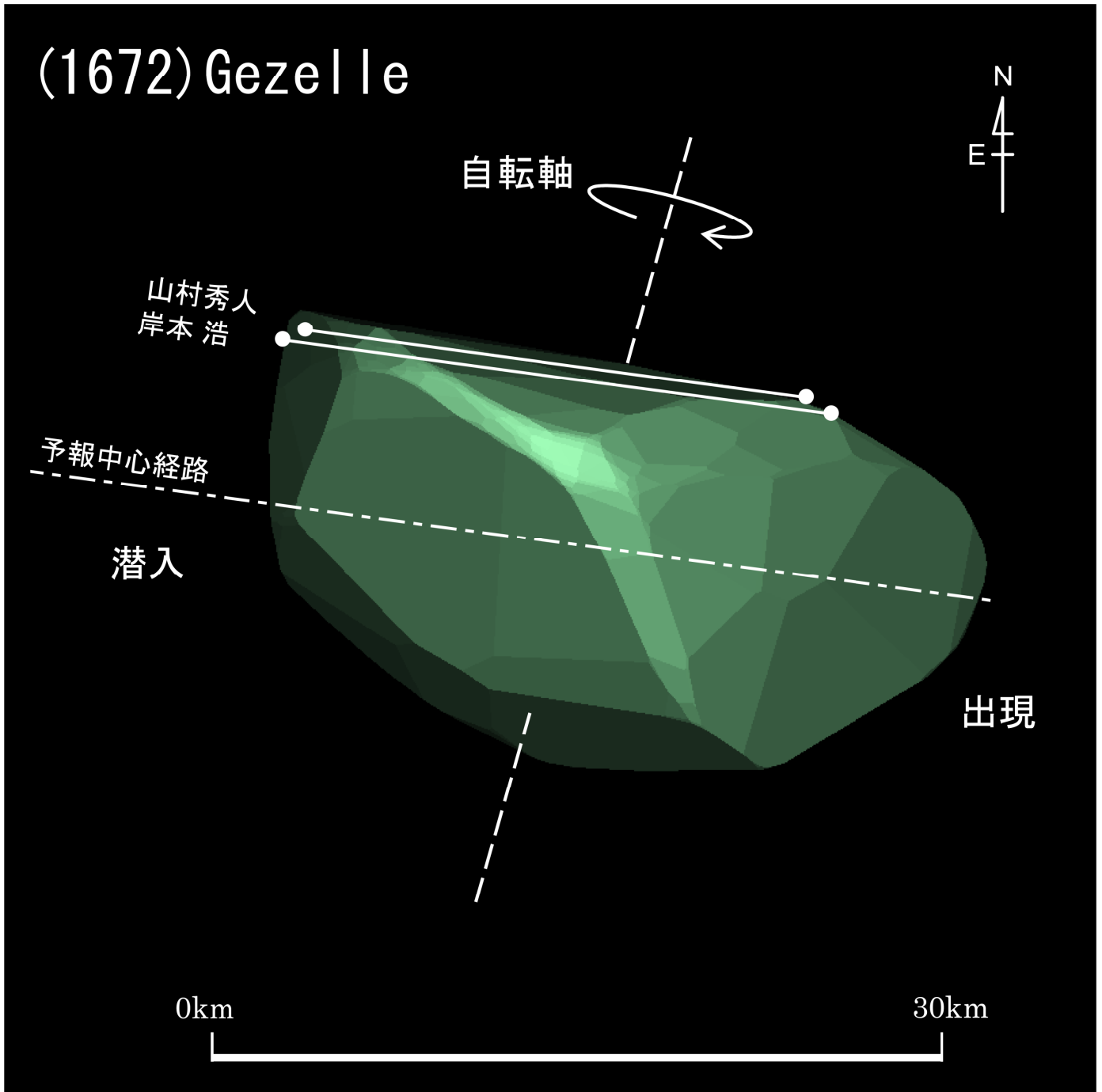


図7 (1672) Gezelle 2025年9月21日 14h16m15s UT DAMIT Model 871 ($\lambda = 45$ 、 $\beta = +79$)※1
 $P = 344^\circ$ 、 $\beta_e = -10^\circ$ 、 $\lambda_e = -167^\circ$ 、Scale Factor 1: 21.5、 $k = 0.968$ 、 $B = 77.0^\circ$

(13089) 1992 PH2

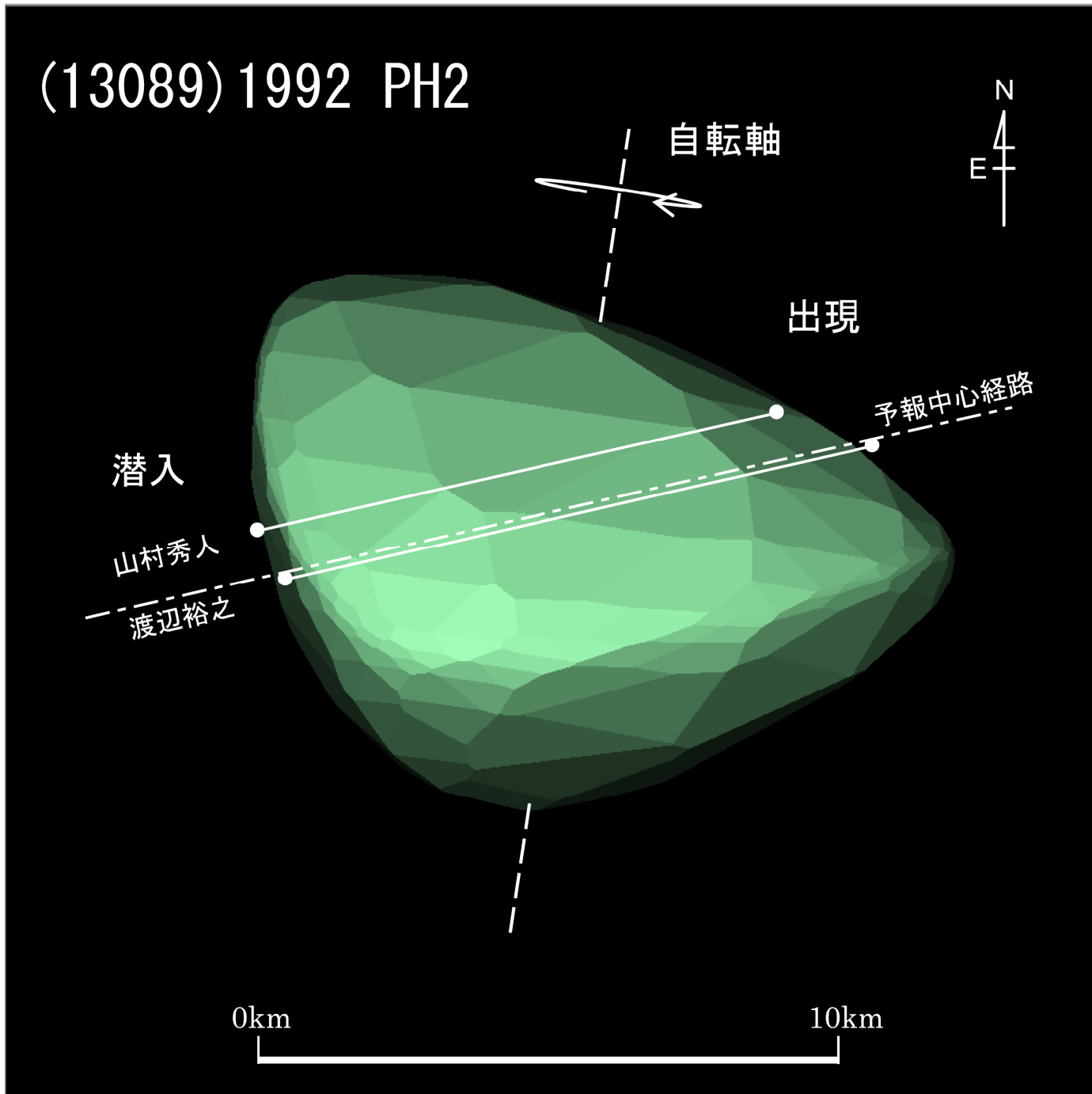


図8 (13089) 1992 PH2 2025年10月13日 14h03m43s UT DAMIT Model 7301 ($\lambda = 350$ 、 $\beta = +82$)※1
 $P = 352^\circ$ 、 $\beta_e = -3^\circ$ 、 $\lambda_e = -69^\circ$ 、Scale Factor 1: 8.9、 $k = 0.982$ 、 $B = 88.5^\circ$

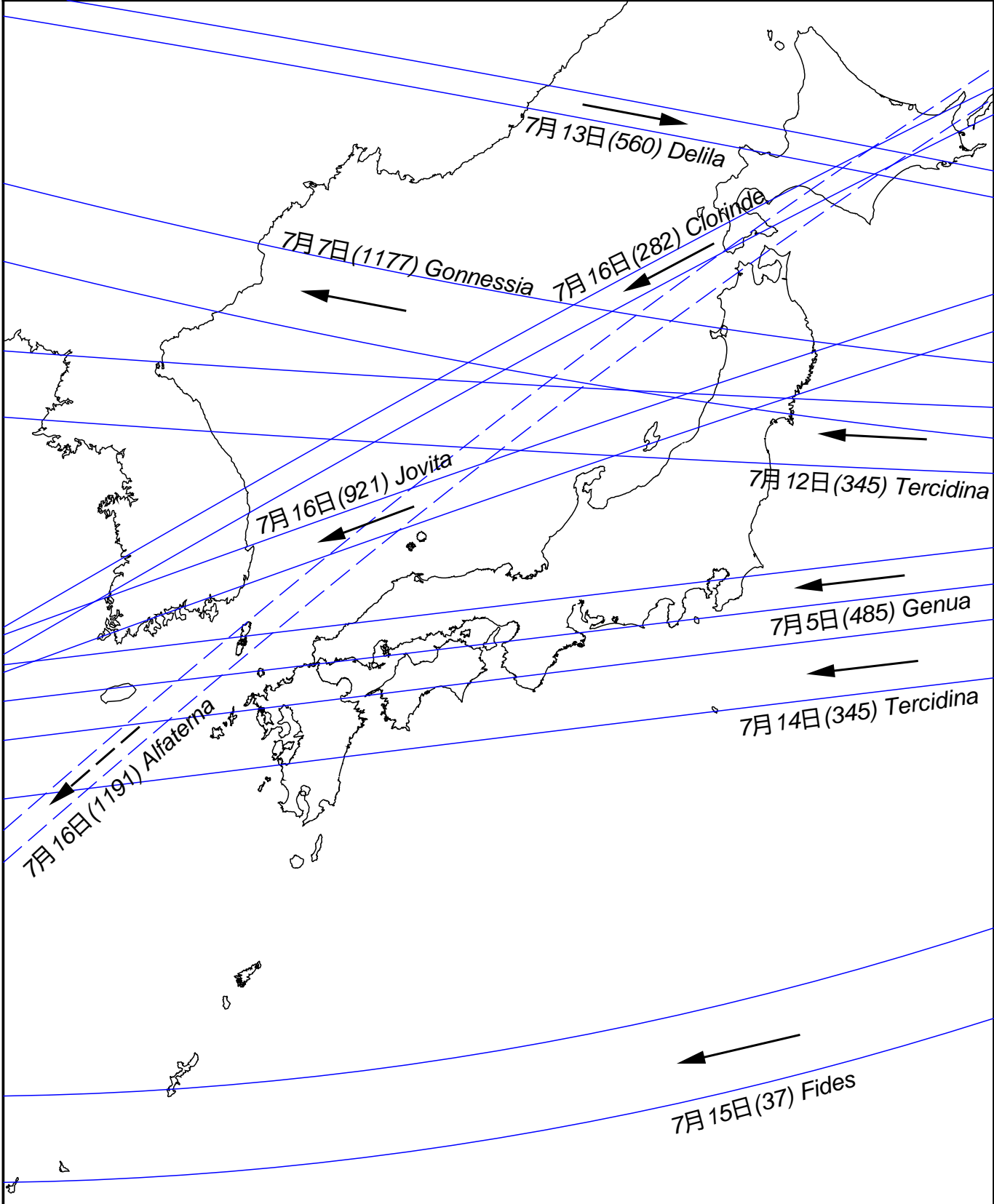


図9 小惑星による主な掩蔽帯経路 (S.Preston初期予報ほか) 2026年7月前半
 矢印は影の移動方向を示す

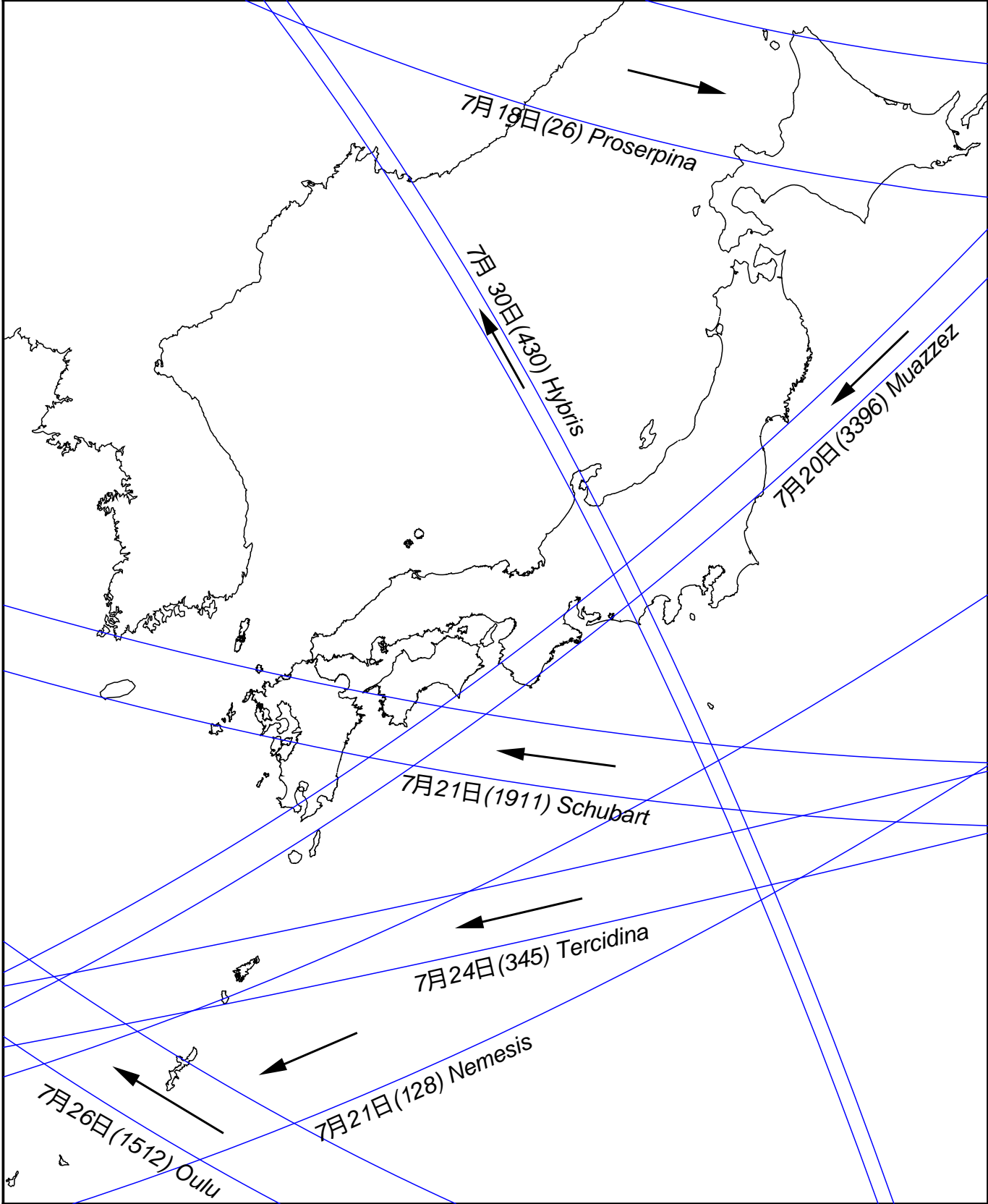


図10 小惑星による主な掩蔽帯経路 (S.Preston初期予報ほか) 2026年7月後半
 矢印は影の移動方向を示す